

РАСЧЁТ ПРЕДЕЛОВ РАБОЧЕЙ ЗОНЫ ДИФФЕРЕНЦИАЛЬНЫХ ПОДСИСТЕМ

Михайлов В.С.

Киевская государственная академия водного транспорта

Abstract

Mikhajlov V.S. The computation of coverage limits of differential subsystems. The paper is dedicated to definition of quantitative values of action radiuses of correcting stations. The power relations of transmission devices in range of a medium waves are reviewed. The dependence of field intensity for different wave lengths are presented.

Статья посвящена определению количественных значений радиусов действия контрольно-корректирующих станций в диапазоне средних волн, рассмотрена их зависимость от мощности передающих устройств.

В диапазоне средних волн /СВ/: $\lambda = 100 \div 1000$ м, $f = 0,3 \div 3$ мГц.

Напряжённость электрического поля земных волн вертикального компонента для относительно малых расстояний, определяется отношением М.В.Шулейкина и Б. Вандер-Поля [1,2]:

$$E_{mcB} = \sqrt{2} \cdot E_{mcB} |W|, \quad (1)$$

где

$$E_{mcB} = \sqrt{60P_{изл} D_{max}} \cdot F(\xi, \theta) / r, \quad (2)$$

r - расстояние связи, E_{mcB} - амплитудное значение напряжённости электрического поля в свободном пространстве /В/м/, $D_{max} = D(\xi_0, \theta_0)$ - максимальное значение диаграммы направленности, ξ и θ - углы наблюдения (излучения), соответственно, в горизонтальной и вертикальной плоскостях, ξ_0 и θ_0 - углы максимального излучения,

$$F^2(\xi, \theta) = \frac{D(\xi, \theta)}{D_{max}} \quad (3)$$

нормированная диаграмма напряжённости по мощности; $P_{изл}$ - мощность излучения передатчика в Вт; $|W|$ - множитель ослабления, являющийся функцией параметра ρ :

$$\rho = \frac{\pi}{\lambda} \frac{\sqrt{(\varepsilon - 1)^2 + (60\gamma\lambda)^2}}{\varepsilon^2 + (60\gamma\lambda)^2}, \quad (4)$$

ε - диэлектрическая проницаемость земной поверхности; γ - проводимость земной поверхности / сим/м /.

Значения ε и γ для наиболее типичных видов земной поверхности даны в табл. 1.

Зависимость $|W|$ от ρ для

$$\operatorname{tg} \delta = \frac{60\gamma\lambda}{\varepsilon} > 10 \quad (5)$$

выражена таблицей 2[2].

При этом для $\rho > 25$ эта зависимость хорошо аппроксимируется соотношением:

$$|W| \approx \frac{1}{\rho} \quad (6)$$

Далее, мощность сигнала на входе приёмника, согласованного с антенной для случая вертикально поляризованных волн равна:

$$P_{np1B} = A_{\phi\phi} \cdot E_{m1B}^2 / 240\pi, [Bt], \quad (7)$$

где

$$A_{\phi\phi} = D_{np} \cdot \lambda^2 / 4\pi \quad (8)$$

эффективная площадь приёмной антенны

$$D_{np} = D_{max np} \cdot F_{np}^2(\xi, \theta) \quad (9)$$

Тогда, подставляя (1) в (7), имеем:

$$P_{np1B} = D_{np} \cdot \frac{\lambda^2}{4\pi} \cdot 120 P_{max} D_{nep} \frac{|W|^2}{r^2} \cdot \frac{1}{240\pi} = \frac{1}{8\pi^2} \cdot \frac{D_{np} D_{nep} \cdot \lambda^2 P_{max} \cdot |W|^2}{r^2} \quad (10)$$

Откуда дальность связи /ККС/ при $P_{np1B} = P_{prmin}$:

$$r_c^2 = \frac{1}{8\pi^2} \cdot \frac{P_{max}}{P_{prmin}} \cdot D_{np} D_{nep} \cdot \lambda^2 \rho_{max} \cdot |W|^2, \quad (11)$$

где $P_{prmin} = P_{np1B}/r_{max}$ – чувствительность приёмника /Вт/.

Таблица 1 - Значения диэлектрической проницаемости и проводимости для наиболее типичных видов земной поверхности

Вид земной поверхности или покрова	°	Длина волн	ϵ	$\gamma / \text{см}^3/\text{м} /$
Морская вода	$t = 20^\circ\text{C}$	$> 1,0$	78	5,0
Пресная вода рек, озёр	$t = 20^\circ\text{C}$	$> 1,0$	90	$2 \cdot 10^{-2}$
Влажная почва	$t = 20^\circ\text{C}$	$> 1,0$	$15 \div 30$	$10^{-1} \div 10^{-2}$
Сухая почва	$t = 20^\circ\text{C}$	$> 1,0$	$3 \div 6$	$10^{-4} \div 2,18$
Лёд	$t = -10^\circ\text{C}$	$> 1,0$	$4 \div 5$	$10^{-1} \div 10^{-2}$
Снег	$t = -10^\circ\text{C}$	$> 1,0$	1,2	10^{-6}
Мёрзлая почва	$t = -35^\circ\text{C}$	$> 1,0$	$3 \div 7$	$10^{-3} \div 10^{-2}$
Лес		> 10	1,004	$10^{-6} \div 10^{-5}$

Следовательно:

$$r_c = \frac{1}{2\sqrt{2}\pi} \sqrt{\frac{P_{max}}{P_{prmin}} D_{np} D_{nep} \cdot \lambda |W|} \quad (12)$$

Таблица 2 - Зависимость множителя ослабления $|W|$ от параметра ρ

ρ	0,01	0,06	0,1	0,2	0,5	1	2	3	4	5	10	20
$ W $	1	0,99	0,95	0,9	0,85	0,8	0,65	0,5	0,4	0,34	0,17	0,16

Для больших расстояний напряжённость электрического поля земных волн определяется законами дифракции. В частности, для интересующей нас области тени – по формуле В.А.Фока:

$$E_{m1B} = E_{mcB} \cdot G, \left[\frac{mB}{M} \right], \quad (13)$$

где E_{mcB} – определяется формулой (2); G – множитель ослабления, равный:

$$G = u \left(\frac{r}{(R_0 \cdot \lambda / \pi)^{1/3}} \right), \quad (14)$$

r – расстояние от передатчика в /м/, R_0 – радиус земли, $u(.)$ – унакция расстояния от передатчика.

Обозначим:

$$x = \frac{r}{(R_0 \cdot \lambda / \pi)^{1/3}} \quad (15)$$

Подставляя (13) в (7), получим:

$$P_{np1B} = A_{\phi\phi} E_{mcB}^2 G^2 \cdot \frac{1}{240\pi} \quad [mBt] \quad (16)$$

или

$$P_{np1B} = \frac{1}{240\pi} \cdot A_{\phi\phi} E_{mcB}^2 u^2(x) = \frac{1}{240\pi} D_{np} \frac{\lambda^2}{4\pi} 60 P_{ul} D_{nep} \cdot u^2 / r^2 = \frac{\lambda^2}{16\pi^2 r^2} P_{ul} D_{np} D_{nep} u^2(x) \quad (17)$$

Откуда, полагая $P_{np1B} = P_{nprmin}$ [МВт], следует:

$$r_c = \frac{\lambda}{4\pi} u(x) \sqrt{\frac{P_{ul}}{P_{nprmin}} D_{np} D_{nep}} = \frac{1}{4\pi} \sqrt{\frac{P_{ul}}{P_{nprmin}} D_{np} D_{nep} \cdot \lambda \cdot u(x)} \quad (18)$$

Здесь, по существу, имеет место трансцендентное уравнение, поскольку из (3) следует $u(x) = u(r_c)$. Действительно:

$$u(r) = 10^{-\frac{5}{6} \frac{r}{(R_0 \lambda / \pi)^{1/3}}} \quad (19)$$

Тогда решение (18) можно свести к решению уравнения относительно r_c при заданной правой части:

$$r_c \cdot 10^{-\frac{5}{6} \frac{r_c}{(R_0 \lambda / \pi)^{1/3}}} = \frac{\lambda}{4\pi} \sqrt{\frac{P_{ul}}{P_{nprmin}} \cdot D_{np} D_{nep}} \quad (20)$$

Решение этой задачи облегчено тем, что имеются графики МККР [2] для определения функций $E_{m1B} = F(r_c)$ – напряжённости поля в зоне дифракции при антенах, расположенных вблизи поверхности земли, рассчитанные по дифракционным формулам (13), (14). Эти графики приведены на рис.1 и 2, где дана зависимость напряжённости поля в мкВ/м от расстояния в км для различных λ и параметров земной поверхности ϵ , γ при мощности передатчика 1 кВт. Для того, чтобы определить напряжённость поля при другой заданной мощности передатчика P_{ul} /кВт/, необходимо значение напряжённости поля, определенного по графику, умножить на $\sqrt{P_{ul}}$.

При анализе количественных значений r_c в диапазоне СВ были приняты следующие допущения.

Во-первых, предполагалась передача диффоправок на расширительной частоте системы национального Навтекса $f = 450$ кГц / $\lambda = 666,67$ м /, занимающей «промежуточное» положение между частотой системы национального Навтекса Украины $f = 250$ кГц / $\lambda = 1200$ м / и второй расширительной частотой $f = 490$ кГц / $\lambda = 612,24$ м /, и на дальности $r_c < 1000$ км.

Во-вторых, в качестве подстилающей поверхности при распространении радиоволн этого диапазона полагалась «осреднённая» поверхность в виде влажной почвы с параметрами $\epsilon = 15$, $\gamma = 10^2$.

В третьих, в качестве технических параметров приёмопередающего тракта на трассе судно-ККС использованы значения:

$$D_{np} = G_{np} \cdot \eta_{np}; D_{nep} = G_{nep} \cdot \eta_{nep}; G_{np} = G_{nep} = 1; \eta_{np} = \eta_{nep} = 0,9. \quad (21)$$

Здесь G_{np} , G_{nep} - коэффициенты усиления приёмной и передающей антенн; η_{np} , η_{nep} - коэффициенты усиления антенно-фидерных трактов, соответственно, приёмника и передатчика.

Кроме того полагалось $P_{ил} = 10, 50, 100, 500$ Вт; $P_{np} = 6,25 \cdot 10^{-6}, 2,5 \cdot 10^{-7}, 1 \cdot 10^{-6}$ Вт.

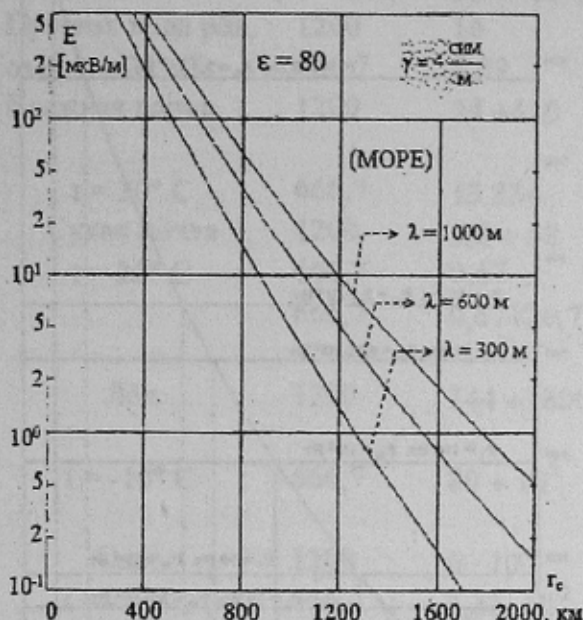


Рис.1. - Зависимость напряжённости поля от расстояния для различных λ и параметров земной поверхности ϵ и γ (Море)

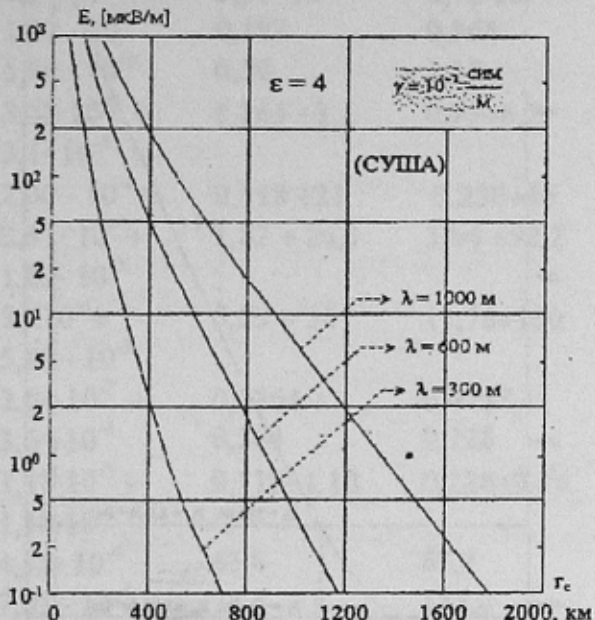


Рис.2 - Зависимость напряжённости поля от расстояния для различных λ и параметров земной поверхности ϵ и γ (Суша)

Для указанной длины волны и параметров почвы получаем

$$\operatorname{tg} \delta = 60\gamma\lambda/\epsilon = 26,67; \rho = r \cdot 1,171 \cdot 10^{-5} \quad (22)$$

Тогда уравнение (12) принимает следующий трансцендентный вид:

$$\frac{r_c}{W(1,171 \cdot 10^{-5} r_c)} = 38,9044 \sqrt{\frac{P_{ил}}{P_{прием}}}, \quad (23)$$

где значения $W(1,171 \cdot 10^{-5} r_c)$ для каждого значения r_c заданы в таблице 3.

Результаты граffоаналитического решения уравнения (23) для различных соотношений $P_{ил}$ и P_{np} представлены на рис. 3 и 4. Из этих рисунков следует, что приемлемые значения радиусов действия контрольно-корректирующих станций в диапазоне 200-600 км сравнительно легко обеспечиваются при указанных типичных технических параметрах приёмо-передающих трактов. Например,

для $P_{ил} = 10$ Вт и $P_{прием} = 6,25 \cdot 10^{-8}$ Вт, $r_c = 255$ км; для $P_{ил} = 50$ Вт и $P_{прием} = 2,5 \cdot 10^{-7}$ Вт, $r_c = 275$ км; для $P_{ил} = 100$ Вт и $P_{прием} = 6,25 \cdot 10^{-8}$ Вт, $r_c = 472$ км; и т.д.

На рис. 5 представлены зависимости достижимого радиуса действия ККС от $P_{ил}$ - мощности её передатчика. В качестве параметров кривых использованы значения $P_{прием}$ - чувствительности судовых навигационных приёмников дифференциальных поправок. Из графиков рис. 5 следует, что для достижения $r_c = 500$ км чувствительность судовых

приёмников дифференциальных поправок должна быть не хуже $2,5 \cdot 10^{-7}$ Вт или 500 мкВ. В этом случае указанный радиус действия ККС достигается при мощности её передатчика $P_{\text{изл}} = 200$ Вт. Улучшение чувствительности приёмника до значения $6,25 \cdot 10^{-8}$ Вт или 250 мкВ позволяет снизить мощность передатчика /для того же значения r_c / до уровня 50 Вт.

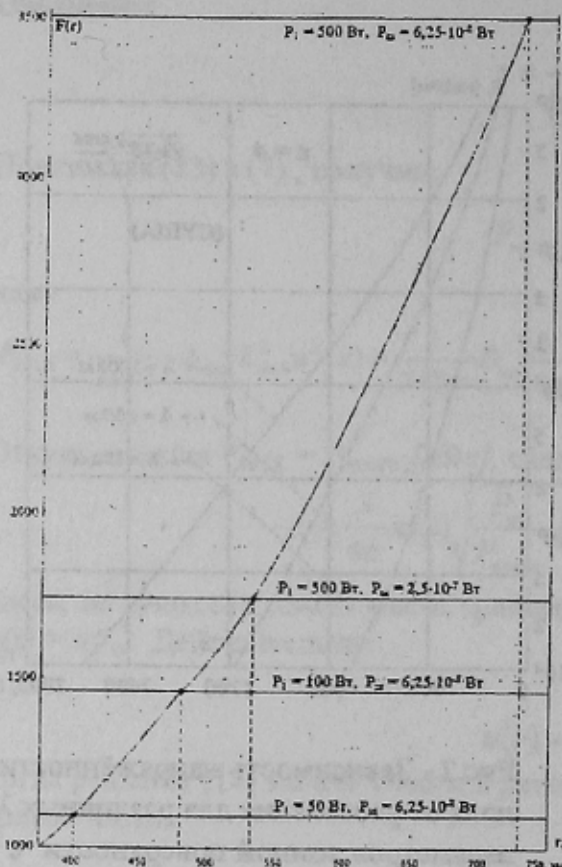


Рис. 3 - Зависимость r_c для различных соотношений мощности излучения передатчика (P_1) и приёмника (P_m)

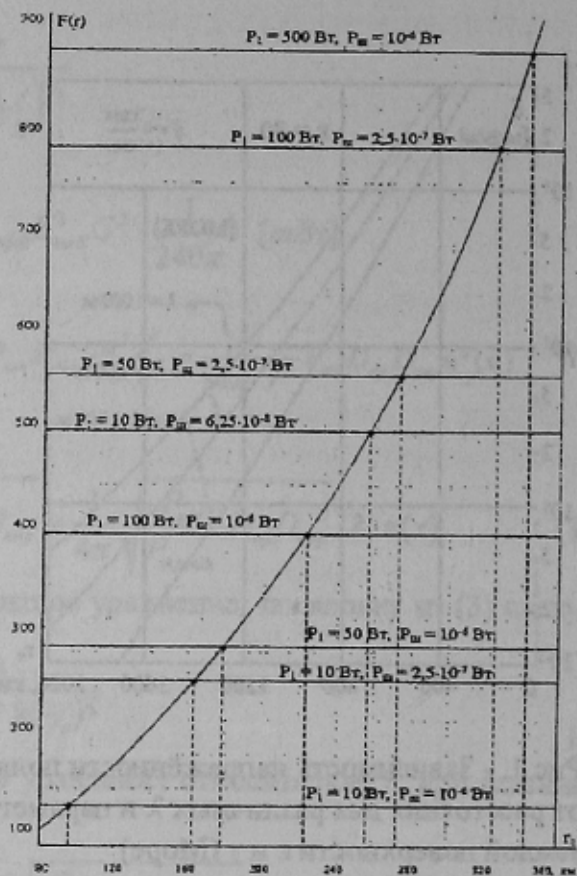


Рис. 4 - Зависимость r_c для различных соотношений технических параметров приемопередающего тракта

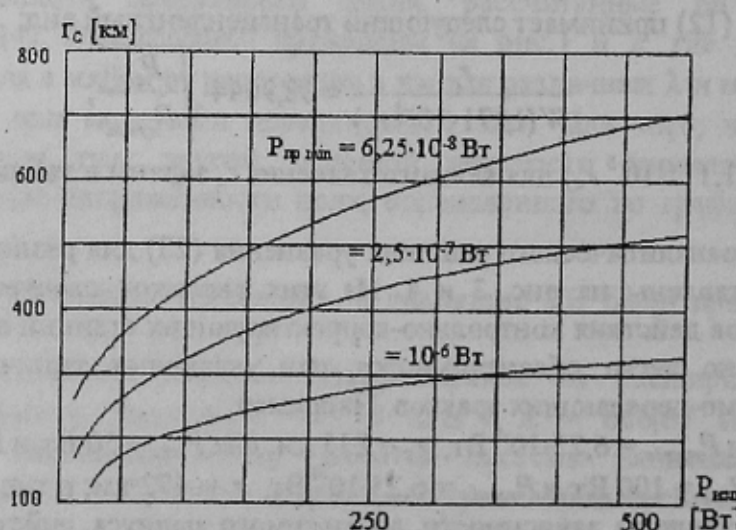


Рис. 5 - Зависимость достижимого радиуса действия контрольно-корректирующей станции от мощности её передатчика

Таблица 3 - Значения параметров $\operatorname{tg} \delta$ и β для типичных видов земной поверхности

Вид земной поверхности	λ м	$\operatorname{tg} \delta$	β	$r_c = 10^5$ м	ρ $r_c = 2 \cdot 10^5$ м
Морская вода $t = 20^\circ \text{ C}$	1200 666,7	$4,6 \cdot 10^3$ $2,56 \cdot 10^3$	$7,273 \cdot 10^{-9}$ $2,36 \cdot 10^{-8}$	$7,273 \cdot 10^{-4}$ $2,36 \cdot 10^{-3}$	$1,4546 \cdot 10^{-3}$ $4,72 \cdot 10^{-3}$
Пресная вода рек, озёр $t = 20^\circ \text{ C}$	1200 666,7	16 8,89	$1,82 \cdot 10^{-6}$ $5,90 \cdot 10^{-6}$	0,182 0,59	0,364 1,18
Влажная почва $t = 20^\circ \text{ C}$	1200 666,7	$24 \div 480$ $13,33 \div$	$3,65 \cdot 10^{-6} \div$ $2,30 \cdot 10^{-4} \div$	$0,365 \div 3,1$ $0,118 \div 23$	$0,73 \div 6,2$ $0,236 \div 46$
Сухая почва $t = 20^\circ \text{ C}$	1200 666,7 666,7	$1,2 \div 48$ 0,67 $0,67 \div 26,7$	$2,61 \cdot 10^{-4} \div$ $1,82 \cdot 10^{-5}$ $5 \cdot 10^{-4} \div$ $5,89 \cdot 10^{-5}$	$1,82 \div 26,1$ $5,89 \div 50$	$3,64 \div 52,2$ $11,78 \div 100$
Лёд $t = -10^\circ \text{ C}$	1200 666,7	$144 \div 1800$ $80 \div 10^3$	$3,64 \cdot 10^{-7} \div$ $3,64 \cdot 10^{-6}$ $1,18 \cdot 10^{-5} \div$ $1,18 \cdot 10^{-6}$	0,0364 \div 0,364 $0,118 \div 1,18$	$0,0728 \div$ 0,728 $0,226 \div 2,26$
Снег $t = -10^\circ \text{ C}$	1200 666,7	$6 \cdot 10^{-2}$ $3,33 \cdot 10^{-2}$	$4,36 \cdot 10^{-4}$ $7,85 \cdot 10^{-4}$	43,6 78,5	87,2 157,0
Мёрзлая почва, $t = -35^\circ \text{ C}$	1200 666,7 1200	$10,3 \div 240$ $5,72 \div 133$ $7,17 \cdot 10^{-2} \div$ $7,17 \cdot 10^{-1}$	$3,64 \cdot 10^{-5} \div$ $6,45 \cdot 10^{-5} \div$ $1,07 \cdot 10^{-3} \div$ $1,24 \cdot 10^{-3}$	$0,364 \div 3,64$ $1,17 \div 6,45$ $107 \div 124$	$0,728 \div 7,28$ $2,34 \div 12,90$ $214 \div 248$
Лес	666,7	$3,98 \cdot 10^{-2} \div$ $3,98 \cdot 10^{-1}$	$1,86 \cdot 10^{-3} \div$ $1,63 \cdot 10^{-3}$	$163 \div 186$	$226 \div 372$

Литература

1. Ракитин В.Д. Предложения по применению СНС «Глонас Навстар» в дифференциальном режиме на ВВП Раздел 5 Отчёта НИР по теме 93-603/36, СПГУВК, 1994.
2. Справочник по теоретическим основам радиоэлектроники, под ред. проф. Куликовского А.А., том 1, Энергия, 1977.
3. Береговые системы управления движением судов. Баскин А.С., Москвин Г.И. – М., Транспорт, 1986.